УДК 539.89+535-34

ФИЗИКА

## Л. И. СЛАБКИИ, Л. А. ОДНОВОЛ, В. П. КОЗЕНКО

## О РЕНТГЕНОВСКОМ ИЗЛУЧЕНИИ, ВОЗНИКАЮЩЕМ ПРИ СОУНАРЕНИИ МЕТАЛЛИЧЕСКИХ ТЕЛ

(Представлено академиком А. А. Благонравовым 22 VI 1972)

Известно, что разрушение твердых тел в некоторых случаях сопровождается возникновением свечения (¹), излучением в радиодиапазоне (²) и другими эффектами (³). В работе (⁴) обнаружен и описан эффект радиации, возникающей при взрыве статически нагруженных твердых кристаллических диэлектриков. В частности, было обнаружено локальное потемнение фотопленки в виде отдельных, хаотически расположенных пятен, появление которых обусловлено, по мнению автора, воздействием жесткого ( $E \ge 25$  кэв) рентгеновского излучения.

Нами наблюдалось возпикновение мягкого рентгеновского излучения, сопровождающего процесс высокоскоростного соударения двух металлических тел в вакууме с начальным давлением  $p_0 \simeq 10^{-1}$  мм рт.ст. при скоростях отпосительного сближения  $\sim 5-5,5$  км/сек. Схема проведения экспериментов представлена на рис. 1.

Рептгеновское излучение наблюдалось при ударе никелевого цилиндра 1, масса которого равнялась  $\sim 3.5-4$  г, о неподвижную цинковую мишень 2 и регистрировалось дозиметрами 3 и рентгеновской фотопленкой 4, 7 с усиливающими экранами 8. Для того чтобы исключить воздействие на дозиметры и фотопленку вторичных осколков, появляющихся на первой стадии взаимодействия тела с мишенью, была предусмотрена их защита слоем текстолита, бумаги, фольги и стеклоткани. Применялись дозиметры ДП-02 с пределом измерений до 200 мр и рентгеновская фотопленка типа  $P\Phi$ -3. Ниже приводятся показания дозиметров, полученные в одном из опытов:

$$N$$
 1 2 3 4 5 6 7 1 $\kappa$  2 $\kappa$  2 $\kappa$   $D^0$ , Mp 4 0 18 11 9 0 5 10 7  $D'$ , Mp 4 — 20 14 16 3 10 10,5 7  $\Delta D$ , Mp 0 — 2 3 7 3 5 1 0

Здесь N— порядковый номер дозиметра,  $D^{\circ}$ — показание дозиметра перед опытом, D'— показания дозиметра после опыта,  $\Delta D$ — интегральная доза рентгеновского излучения,  $1\kappa$ ,  $2\kappa$ — контрольные дозиметры.

Согласно оценкам, жесткость излучения соответствует средней эпергии рентгеновских квантов  $\simeq 5-15$  кэв. Периодическая структура засвеченных участков на иленке (см. рис. 2), по-видимому, вызвана дифракцией рентгеновских лучей на кристаллической решетке цинка и соответствует тиничной лауэграмме. Засветка фотопленки в виде полос, показанная на рис. 26, обусловлена паличием поглощающих экранов в виде полосок из свинца, которые были установлены между источником излучения и фотопленкой.

Возникновение рентгеновского излучения при высокоскоростном соударении металлических тел может быть обусловлено возбуждением внутренних электронных оболочек атомов при ударном разрушении кристаллической решетки. В этом случае оценку интенсивности излучения можно провести по теории возмущений, поскольку энергия соударения, отнесенная

к одному атому, при скоростях  $\sim 5$  км/сек существенно менее 1 эв, в то время как энергия излучения составляет  $\sim 10^4$  эв.

Вероятность возбуждения атома при «ударном» возбуждении равна (5)

$$w_{k}=|\,a_{k}^{(1)}\left(t\right)|^{2},\quad a_{k}^{(1)}\left(t\right)=-\,\,\frac{H_{km}^{'}}{\hbar}\,\,\frac{\exp\left(i\omega_{km}t\right)-1}{\omega_{km}}\,;$$

здесь  $H'_{hm}$  — возмущение гамильтониана основного состояния для атома,  $\omega_{hm}$  — собственная частота возбуждаемого уровня атома.

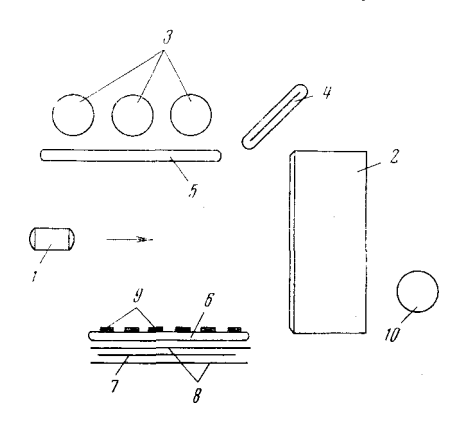


Рис. 1. Схема экспериментальной установки: 1 — никелевый снаряд, 2 — цинковая мишень, 3 — дозиметры ДП-02, 4, 7 — фотопленка, 5 — экран из стекловолокна толщиной 12 мм, 6 — текстолитовый экран толщиной 1 мм, 8 — светоусиливающие люминесцентные экраны, 9 — полоски свинца толщиной 0,5 мм, 10 — контрольный дозиметр ДП-02

Усреднение по времени соударения  $t\gg 2\pi$  /  $\omega_{\scriptscriptstyle hm}$  дает

$$\overline{w}_k^t = 4rac{H_{km}^{'2}}{\hbar^2\omega_{km}^2} \overline{\sin^2} rac{\omega_{km}t}{2} = 2\left(rac{\omega_{ exttt{BO36}}}{\omega_{km}}
ight)^2,$$

где  $\omega_{\text{воз6}} = 2\pi (V/d)$ , V—скорость соударения, d—постоянная решетки для соударяющихся тел. Для цинка (d=2,7 Å) и  $V\simeq 5\cdot 10^5$  см/сек  $E\simeq 10$  кэв и величина  $\overline{w}_k{}^t\simeq 1,2\cdot 10^{-10}$ . Число возбужденных атомов  $N_{\text{воз6}}=N_0l_{\,\text{пр}}$  s, где  $N_0$ —число атомов в 1 см³ мишени (цинк),  $l_{\,\text{пр}}^{(r)}$  — длина пробега излучения с энергией  $\sim 10$  кэв в цинке, s—эффективная излучающая площадь поверхности мишени. Для  $N_0=8,45\cdot 10^{22}$ ,  $l_{\,\text{пр}}=6,5\cdot 10^{-3}$  см и s=1 см² полная энергия рентгеновского излучения составит  $5,85\cdot 10^2$  эрг, что эквивалентно дозе  $D\simeq 0,013$  р на расстоянии 20 см от места излучения. Полученная величина находится в удовлетворительном согласии с зарегистрированной в опытах с учетом поглещения части излучения экраном из текстолита, фольги и стеклоткани.

На основании предложенного мехапизма излучения можно ожидать, что в спектре оптического излучения, испускаемого при соударении, должен появиться максимум, соответствующий «резонансному» механическому возбуждению решетки на частоте  $\omega_{\text{возб}} = 2\pi (V/d)$ . Поскольку эта частота лежит в и.-к. диапазоне ( $\lambda \simeq 13,6~\mu$  для цинка с d=2,7~Å), то для экспериментального наблюдения указанного эффекта необходимо в качестве мишени брать вещество, молекулы которого имеют уровни энергии, соответствующие указанной частоте.

В заключение авторы выражают благодарность В. В. Дыбцину за помощь, оказанную при проведении экспериментов.

Поступило 19 VI 1972

## ЦИТИРОВАННАЯ ЛИТЕРАТУРА

<sup>1</sup> Ф. Боуден, А. Иоффе, Быстрые реакции в твердых веществах, Москва, 1962. <sup>2</sup> Л. А. Тюрикова и др., ДАН, 201, № 4, 883 (1971). <sup>3</sup> Г. И. Покровский, Взрыв, изд. 2, М., 1967. <sup>4</sup> Т. Я. Гораздовский, Письма ЖЭТФ, 5. вып. 3 (1967). <sup>5</sup> Л. Шифф, Квантовая механика, Москва, 1957.

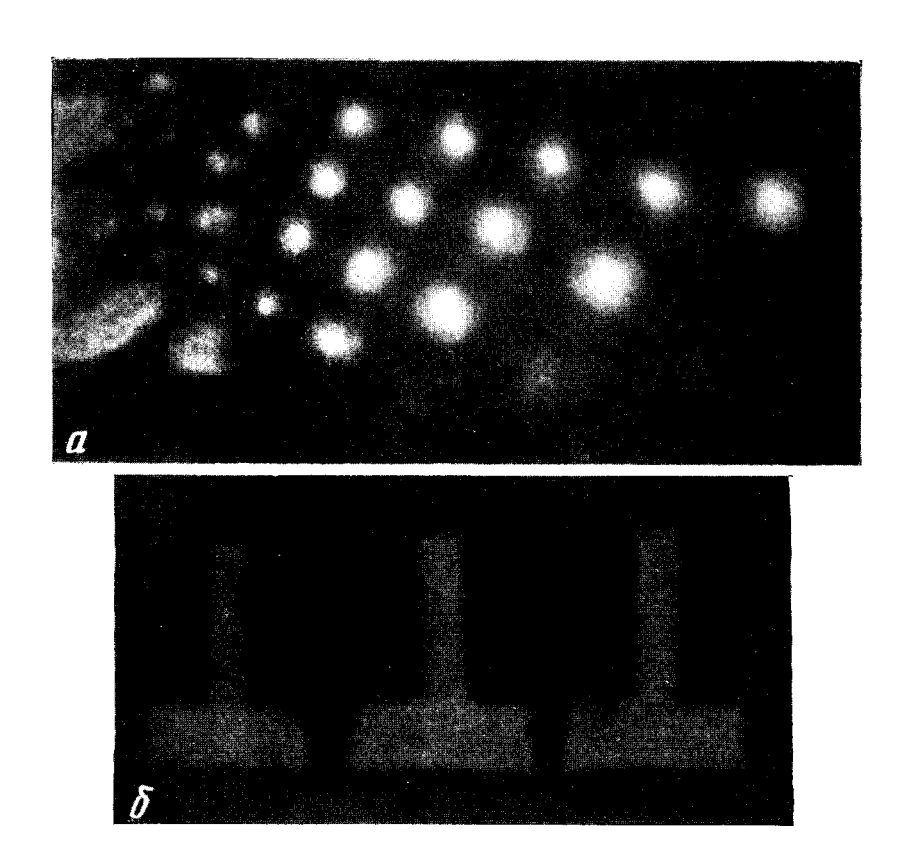


Рис. 2. Фотопленка, засвеченная рептгеновским излучением (позитив): a — дауэграмма на кристаллах цинка,  $\delta$  — теневое изображение экранирующих полосок свинца

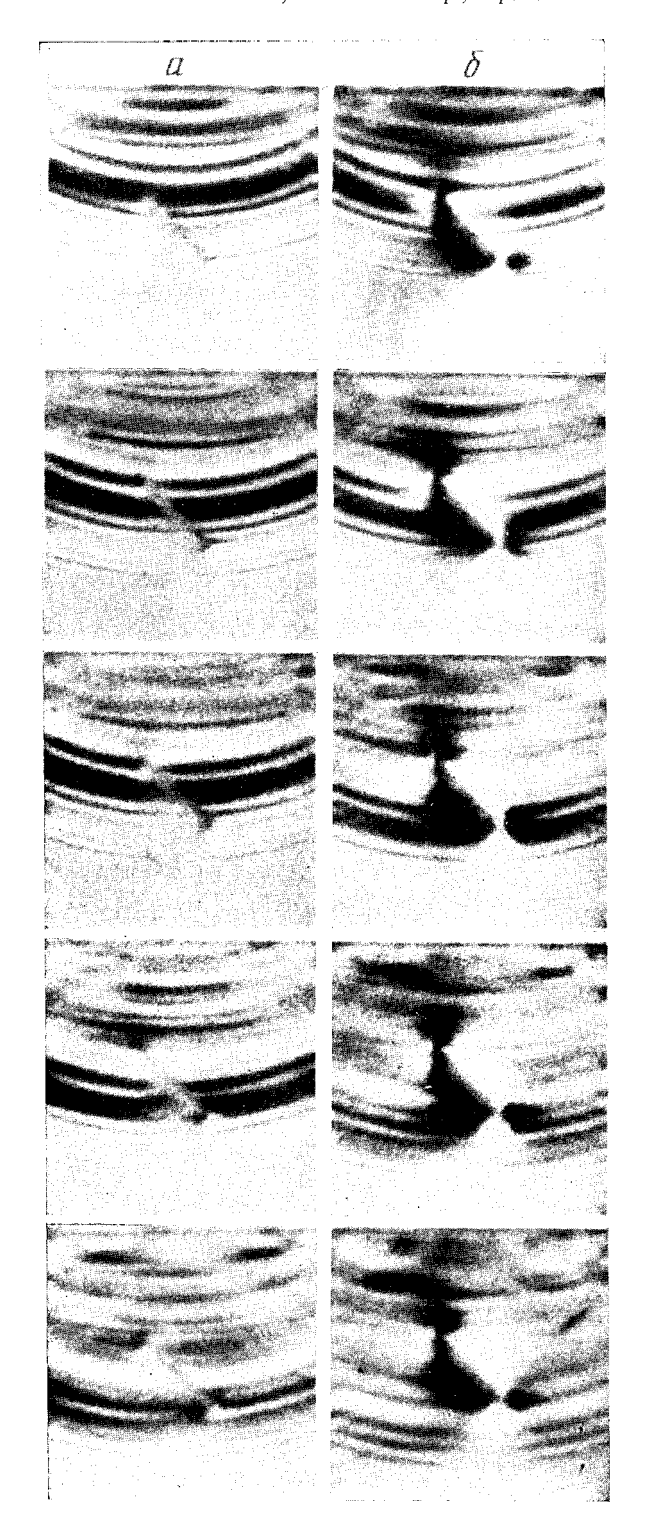


Рис. 4. Развертка во времени картипы распространения продольных упругих волн в непагруженной (a) и пагружениой  $P=70~{\rm kr/cm^2}$  (б) модели среды с дефектом